

Isolation and diagnosis of a new isolate of *Potato mop-top virus* and using it to evaluate the gene silencing method in transgenic tobacco plants in resistance of the same virus

عزل وتشخيص عزلة جديدة من فايروس الممسحة القمي للبطاطا واستخدامها في تقييم كفاءة مقاومته بطريقة الاسكات الجيني في نباتات التبغ المعدلة وراثيا

عدنان عبد الجليل لهوف

قسم وقاية النبات/كلية الزراعة/جامعة كربلاء

الخلاصة

هدفت هذه الدراسة الى ايجاد طريقة لعزل عزلة جديدة من فايروس الممسحة القمي للبطاطا من التربة وتشخيصها احيائياً ومناعياً وجزئياً بعد ذلك استخدامها في تقييم فعالية طريقة الاسكات الجيني في مقاومة الفايروس نفسه في نباتات تبغ معدلة وراثياً. أظهرت النتائج ان الطريقة المائية كانت الأكثر فعالية في العزل وذلك لحصول الإصابة بالفايروس ونافله في جميع النباتات الكاشفة مقارتنا بالطرق الأخرى كذلك أكدت الدراسات التشخيصية ان العزلة تعود لفايروس الممسحة القمي للبطاطا وأنها ذات إمراضية عالية. بينت النتائج ايضاً عدم وجود فروقات معنوية بين نباتات التبغ المعدلة وغير المعدلة وراثياً في مقاومة الفايروس اعلاه في منطقى الجذور والأوراق للنباتات المدرسوة. ان هذه النتائج تشير الى ضعف طريقة الاسكات الجيني في مقاومة الفايروس وقد يعود سبب ذلك الى تأثير كابح فايروس الممسحة القمي للبطاطا الذي ربما يعمل على تقليل او ايقاف فعالية طريقة الاسكات الجيني في مقاومة الفايروس.

Abstract

This study was conducted to determine an active isolation method for obtaining a new isolate of *Potato mop-top virus* (PMTV) from soil and applying biological (Bioassay), immunological (TAS-ELISA) and molecular methods (RT-PCR + qRT-PCR + Nucleotide Sequencing) for diagnosing it. This is in order to utilize the new isolate in evaluation of the gene silencing method in resistance of the PMTV in transgenic *N. benthamiana* plants. The results showed that the liquid method was the most effective approach in obtaining PMTV viral infection in all tested plants. Additionally, the diagnosing methods confirmed that the isolate belong to PMTV and it had a high pathogenicity. The results also displayed no significant differences between the transgenic and non-transgenic *N. benthamiana* plants in resistance of PMTV in roots or leaves of tested plants. These results referred to a weakness of gene silencing method in resistance of the PMTV. This is possibly due to impact of the PMTV suppressor that might cause a reduction or prevention to the gene silencing efficacy in resistance of PMTV.

المقدمة

يحتل محصول البطاطا المرتبة الرابعة بين المحاصيل الاستراتيجية الأكثر أهمية في العالم وذلك بسبب فوائده الغذائية والصناعية المتعددة [1]. يصاب هذا المحصول بعدد كبير من الأفات منها الفايروسات التي يسبب العديد منها خفض كبير في نوعية وكمية الإنتاج. أحد هذه الفايروسات هو فايروس الممسحة القمي للبطاطا (*Potato mop-top virus*) (PMTV) الذي هو النوع الممثل للجنس *Pomovirus* الذي يعود للعائلة *Virgaviridae*. يسبب هذا الفايروس خسائر اقتصادية مهمة في نوعية الإنتاج نتيجة للأعراض التي تظهر على درنات البطاطا والمتمثلة بالحلقات البنية على السطح الخارجي يقللها خطوط منحنية بنفس اللون تشبه الهلال تظهر في لب الدرنات المصابة للأصناف الحساسة وفي حالة زراعة الدرنات المصابة تظهر اعراض على المجموع الخضري متمثلة بالترقش او التلطخ الأصفر على الأوراق السفلية عادتاً ومناطق فاقدة للكلوروفيل بشكل الحرف الانكليزي V تظهر على الوريفات مع تقزم شديد يسبب ظهور النباتات المصابة بهيئة ممسحة (Mop) بالإضافة الى ان النباتات المصابة تنتج درنات متشققة ومشوهاً [3;2]. جديراً بالذكر ان هنالك انواع أخرى تصيب بهذا الفايروس بالإضافة الى نبات البطاطا معظمها تعود الى العائلة البانجانية *Solanaceae* مثل نباتات التبغ والطماطة. ينتقل هذا الفايروس بواسطة الناقل *Spongospora subterranea* الذي يعود الى مملكة الطلائعيات *Protista*، رتبة *Plasmodiophorales* عائلة *Plasmodiophoraceae* والذي يسبب مرض الجرب المسحوقى على البطاطا [5;4;2].

أن طريقة مصيدة التربة (Soil bait method) تستخدم لغرض عزل فايروس الممسحة القمي للبطاطا من التربة بواسطة زراعة نباتات كاشفة حساسة للإصابة بالفايروس مثل *N. debneyi* ، *Nicotiana benthamiana* و *N. clevelandii* في

تربة ملوثة بالناقل *S. subterranea* PMTV الحامل لفايروس الذي عند اصابته للجذور ينقل اليها الفايروس الذي يصيب النبات في منطقة الجذور أولاً ثم يتحرك جهازياً في الاوعية الناقلة الى باقية أجزاء النبات [7;6]. تستخدم طرق مختلفة لغرض تشخيص فايروس الممسحة القمي للبطاطا في النباتات المصابة مثل الطرق المناعية التي تعتمد على التفاعل المناعي بين بروتينات الفايروس مثل غلافه البروتيني والاجسام المضادة المتخصصة. المثال الأبرز لهذه الطرق هو اختبار الـIzA (ELISA) Enzyme-linked immunosorbent assay (ELISA) Double antibody sandwich (DAS-ELISA) والثانية باستخدام ثلاثة طبقات من الاجسام المضادة (TAS-ELISA) Reverse Transcription Polymerase Chain Reaction (RT-PCR) quantitative RT-PCR (qRT-PCR) الذي يكشف ويقدر كمية الفايروس وبشكل دقيق. وهناك طريقة تجمع بين طرفي التشخيص المناعية والجزئية تسمى Immune capture RT-PCR [10;11].

استخدمت العديد من الطرق لغرض مقاومة فايروس الممسحة القمي للبطاطا ونافقه الا انه لم توجد طريقة يمكن الاعتماد عليها في مقاومة الامراض التي يسببانها [8]. لكن يعتبر استخدام الأصناف المقاومة من أكثر الطرق فعالية في مقاومة معظم الامراض النباتية ومنها الفايروسية ويمكن الحصول على هكذا أصناف باستخدام طريقة التربية النباتية التقليدية الا انه يعاد على هذه الطريقة انها تحتاج وقت طويل واموال وجهد أكثر مع عدم ضمان انتقال الجين المرغوب لوحده دون انتقال جينات أخرى غير مرغوبة ربما توثر بشكل او بأخر على قيمة الحاصل لذا كان لا بد من استخدام الطرق الحديثة كاستخدام الهندسة الوراثية التي تسمح بانتقال جين واحد او عدة جينات مرغوبة بشكل مباشر سواء بين الكائنات المتقاربة او حتى المتبااعدة وراثياً [12]. توجد عدة استراتيجيات تستخدم الهندسة الوراثية لأجل انتاج النباتات المعدلة وراثياً المقاومة للفايروسات منها طريقة اسكات الجين (Gene silencing) ان هذه الطريقة عبارة عن ميكانيكية تنظيمية طبيعية موجودة في الحيوانات والفطريات والنباتات تستخدم من اجل السيطرة على التعبير الجيني بالإضافة الى عملها كوسيلة دفاعية ضد الإصابة الفايروسية حيث تسمى هنا بعملية اسكات الجين المحدث بالفايروس Virus induced gene silencing. تعتمد هذه العملية على سلسلة من النيوكليوتيدات المكملة والمتخصصة للارتباط بسلسل معين من سلسلة mRNA والتي تحت على تحطيم الدـmRNA او تنشيط عملية ترجمته. تشمل هذه الطريقة سلسلة من المكونات تبدا بشريط مزدوج من RNA الذي يثير او يحفز بروتين Dicer على قطعه الى قطع صغيرة طولها 21 الى 24 نيوكلويotide من الدـRNA تكون اما من نوع RNA micro interfering RNA (miRNAs) او small interfering RNA (siRNAs) والذي بدوره يرتبط ببروتين Argonaute ليكون معقد يسمى بمعقد اسكات (RNA induced silencing complex) في هذا المعقد يعمل الدـRNA القصير على توجيهه وارتباط المعقد أعلاه بالـmRNA وبعدها يعمل بروتين Argonaute على تقطيع الدـmRNA وبالتالي إيقاف عملية الترجمة والتعبير الجيني. استخدمت هذه الطريقة من قبل العديد من الباحثين لأجل مقاومة الفايروسات النباتية من خلال استخدام الهندسة الوراثية لغرض انتاج النباتات المعدلة وراثياً حيث يتم ادخال قطع قصيرة من RNA المكملة لجزء من RNA الجينات المهمة والضرورية لدور حياة الفايروسات الممرضة مثل جينات التكاثر والحركة الى داخل العائل بواسطة نوافل وراثية ليتكون بعدها شريط مزدوج من RNA الذي يحفز بدوره عملية اسكات الجيني التي تسبب ايقاف تكاثر الفايروس وبالتالي مقاومته [13;14]. وبصورة عامة فإن عملية انتاج النباتات المعدلة وراثياً تتكون من أربعة مراحل تبدأ بعملية استخلاص (Extraction) الحامض النووي للفايروس ثم اجراء عملية كلونه (Cloning) بعدها عملية التحول (Transformation) وتنتهي بمرحلة تقييم المقاومة (Evaluation of resistance) في النباتات المعدلة وراثياً [15;16]. ان اهداف هذه الدراسة تشمل ايجاد طريقة فعالة لعزل فايروس الممسحة القمي للبطاطا من التربة وتشخيصها مناعياً واحيائياً وجزئياً بعد ذلك استخدامها في تقييم فعالية طريقة اسكات الجيني في مقاومة الفايروس نفسه.

المواد وطرق العمل

اجريت هذه الدراسة في معهد جيمس هاتن (The James Hutton Institute) الواقع في مدينة دندي/ اسكتلندا/ المملكة المتحدة.

عزل وتشخيص فايروس الممسحة القمي للبطاطا من التربة

اختبار مصيدة التربة Soil bait test

اجريت هذه التجربة لغرض التأكيد من وجود فايروس الممسحة القمي للبطاطا ونافقه في عينات التربة التي جمعت بشكل عشوائي من حقول موبوءة بهما تقع في مدينة دندي/اسكتلندا/ المملكة المتحدة. وأيضاً تحديد الطريقة الأفضل في عملية العزل مع امكانية عزل عزلة جديدة من هذا الفايروس. حضرت 3 مجامي من نباتات التبغ *Nicotiana benthamiana* للإصابة بالفايروس ونافقه بعمر 4 أسابيع نامية في البيت الزجاجي تحت ظروف بيئية مسيطر عليها تتمثل بدرجة حرارة 25 مئوي و16 ساعة اضاعة و8 ساعات ظلام ورطوبة 75-80% وبواقع 10 نباتات في كل مجموعة. بعد عملية إزاله للسماد العضوي وغسل الجذور بذر بماء مقطر نقلت المجموعة الأولى من النباتات الى اصص بلاستيكية سعة 0.5 كغ تحتوي 8 منها على تربة ملوثة فحصت بشكل عشوائي من الحقول الموبوء بالفايروس ونافقه بينما انتنانت تحتويان على سماد عضوي معقم بالانتوكليف للمقارنة ثم نقل نبات واحد لكل اصيص وسميت هذه الطريقة بال مباشرة بينما نقلت المجموعة الثانية الى اصص بلاستيكية بنفس السعة تحتوي 8 منها على خليط من التربة الملوثة أعلاه والسماد العضوي المعقم بنسبة 1:1 والانتنانت المتبقيان مملوء بالسماد العضوي المعقم لغرض المقارنة أيضاً وسميت هذه الطريقة بال الخليط اما المجموعة الثالثة فأنها نقلت الى حاويات سعة 800 مل

تحتوي 8 منها على 300 مل من محلول المغذي (Formulex) الذي يحتوي على العناصر الغذائية الكبرى ومعظم العناصر الغذائية الصغرى والمخلوط مع 30 غم من التربة الملوثة. اما الحاويتان المتبقيتان فكانت مملوءة فقط بالمحلول المغذي بنفس الكمية لغرض المقارنة وسميت هذه الطريقة بالمانية. نقلت بعدها جميع النباتات الى غرفة النمو (Growth chamber) تحت ظروف بيئية مسيطر عليها تشجع على احداث الاصابة بالناقل والفايروس وتتمثل بدرجة الحرارة 18 مئوي لمدة 16 ساعة أضاءه و 15 مئوي لمدة 8 ساعات ظلام والرطوبة 70%.

التشخيص الجيني لفايروس الممسحة القمي للبطاطا ونافقه *S.subterranea* باستخدام تفاعل البلمرة المتسلسل الكمي q PCR و RT-PCR

بعد مرور 4 أسابيع من تاريخ بدء التجربة أجريت عملية التحقق من وجود الفايروس ونافقه في جذور جميع نباتات البذور *N. benthamiana* المستخدمة في اختبار مصيدة التربة. جمعت عينات من الجذور بشكل عشوائي من كل نبات وجرت عملية استخلاص الـ DNA الكلي بحسب طريقة العمل المرفقة مع عدة Qiagen DNeasy Plant Mini Kit المجهزة من شركة الألمانية بعدها حفظ الـ DNA في 30 ميكروليلتر من الماء المقطر المعمق وجرى تقييم النقاوة وتركيز الـ DNA المستخلص باستخدام جهاز المطياف الضوئي Nanodrop ND-1000 وحفظ تحت درجة حرارة 20-20 مئوي لحين الاستخدام. اما الـ RNA الكلي فقد جرت عملية استخلاصه بحسب طريقة العمل المرفقة مع العدة RNasey Plant Mini kit المجهزة من نفس الشركة أعلى بعدها جرت عملية تقييم النقاوة والتركيز والحفظ بنفس الطريقة أعلاه.

استخدام التفاعل البلمرة المتسلسل الكمي (qPCR) لغرض تشخيص النافق *S.subterranea* بحسب ما اوصى به [17].

حيث كان المسivar (Probe) بتسلسل (5' CAGACAATCGCACCCAGGTTCTCATG3') و المحتوى على وحدات نيوكلويوتيدية معلمة بجزيئات فلورية مشعة تتبع الرصد بعد عملية التزاوج بينه وبين الحمض النووي المكمل له بينما كان البادئ الامامي SsTQF بتسلسل (5' CGGGCAGACCCAAAACC 3') و البادئ العكسي

صمنت هذه البادئات والمسivar لأجل استهداف مناطق ITS/1 و ITS/2 في الـ ribosomal DNA *S.subterranea* علما ان تكوين وتجهيز هذه البادئات والمسivar تم عن طريق الشركة الألمانية MWG-Biotech AG. كان مقدار حجم التفاعل لكل عملية تضاعف هو 25 ميكروليلتر يتكون من الاتي: 12.5 ميكرو ليلتر من البادئ SsTQF وهو المخلوط الرئيسي المجهز من شركة Applied Biosystems و 1.5 ميكرو ليلتر من البادئ SsTQP1 (تركيز 5 ميكرومولاري)، 1.5 ميكرو ليلتر من البادئ SsTQR (تركيز 5 ميكرومولاري) 0.5، ميكرو ليلتر من المسivar SsTQP1 (تركيز 5 ميكرومولاري)، 2 ميكرو ليلتر من عينات الـ DNA الفالب و 7 ميكرو ليلتر ماء مقطر خالي من الانزيم RNase.

بالمقابل كان استخدام تفاعل البلمرة المتسلسل الكمي بالنسخ العكسي Reverse transcriptase qPCR (RT-qPCR) بحسب الطريقة المتبعة [18] وكان المسivar (Probe) بتسلسل (5' ACCAGAACTACGGTGCCGCGTCG3') بينما كان البادئ الامامي PMTV-1948 F بتسلسل (5' GTGATCAGATCCGCGTCCTT3') والبادئ العكسي PMTV-2017R (5' CCACTGAAAAGAACCGATT TC3') صمنت هذه البادئات والمسivar لأجل ان تستهدف مناطق في جين الغلاف البروتيني (Coat protein) للفايروس الممسحة القمي للبطاطا علما ان تكوين وتجهيز هذه البادئات والمسivar تم عن طريق نفس الشركة الألمانية المذكورة سابقا. كان مقدار حجم التفاعل لكل عملية تضاعف بنفس حجم تفاعل qPCR الخاص بالنافق باستثناء تقليل كمية الماء المقطر الى 6.875 ميكرو ليلتر واضافة 0.125 ميكرو ليلتر من الانزيم reverse transcriptase بتركيز (U) 25 مع اضافة 2 ميكرو ليلتر من الـ RNA كفالب للتتفاعل بدلا من الـ DNA.

وأجل تحديد ومتابعة تركيز الفايروس ونافقه في العينات اثناء عملية التضاعف جرى الاعتماد على قيمة عتبة الدورة (cycle threshold) (Ct) والتي هي عبارة عن عدد الدورات اللازمة لتجاوز الإشارات الفلورية في مستوى الخلفية وبكلمات أخرى هي عبارة عن المستوى الذي عند تجاوزه من قبل الكميات المترادفة لإشارات الجزيئات الفلورية المولدة للضوء المرتبط بالمسivar تكون النتيجة التشخيص ايجابية علما ان عدد الدورات هذا التفاعل هي 40 دورة وكلما قلت قيمة عتبة الدورة (Ct) دل على ان تركيز الـ RNA او DNA للفايروس او نافقه في العينة عالية في حين كلما ازدادت قيمة العتبة (Ct) دل على ان تركيز الفايروس او نافقه قليله وبهذا تكون العلاقة بين التركيز وعدد الدورات او قيمة العتبة (Ct) هي علاقة عكسية. وكمثال على ذلك تركيز الفايروس او النافق المكتشف في الدورة 25 هو اعلى من تركيزه في الدورة 35.

استخدمت الطريقة الموصى بها من قبل الشركة Applied Biosystems الموردة لجهاز التضخيم الحراري Applied Biosystems StepOneTm الخاص لكل التفاعلين (qPCR) وهي كالاتي: يبدا التفاعل بدقيقتين على درجة حرارة 95 مئوي تتبعها 10 دقائق على درجة حرارة 95 مئوي ثم دورة متكررة لأربعين مرة تتكون من 15 ثانية بدرجة حرارة 95 مئوي ودقيقة واحدة بدرجة حرارة 60 مئوي. علما انه في كل تفاعل يوجد هنالك عينات موجبة سواء للفايروس او النافق وعينات سالبة والتي هي عبارة عن الماء المقطر فقط الذي يضاف للتفاعل بدلا عن الـ DNA او RNA الفالب.

**دراسات تشخيصية أحياناً، مناعياً وجزئياً لعزلة فايروس الممسحة القيمي للبطاطا المعزولة من التربة
الاختبار الاحياني**

لغرض تحديد شدة الامراضية لعزلة فايروس الممسحة القيمي للبطاطا المعزولة من التربة أجريت عملية استخلاص اللحاف الفايروس من النباتات المصابة وذلك من خلال سحق مجموعة من جذورها التي جمعت بشكل عشوائي في 10 ملليلتر من محلول الملحي الفوسفاتي (Phosphate-buffered saline) البارد باستخدام الهاون الخزفي المعمق بالاوتوكليف. اخذ 3 ملليلتر من اللحاف العالق ونشر بهدوء على أوراق نباتات التبغ *N. benthamiana* السليمية بعمر 4 أسبوع باستخدام القطن او السباية بعد ارتداء كفوف معقمة. علماً ان هذه الأوراق رشت قبل عملية التلقيح بمسحوق الكاربورنديم (carborundum) الخادش لتسهيل تغلغل الفايروس الى داخل الانسجة النباتية. ترك اللحاف الفايروسي لمدة 3 دقائق على الأوراق ثم غسلت بالماء المقطر بلطف لغرض إزالة بقايا اللحاف ومسحوق الكاربورنديم. بعدها نقلت جميع النباتات الملقحة الى البيت الزجاجي تحت ظروف تمثل بدرجة حرارة 25 مئوي و 16 ساعة اضاءة و 8 ساعات ظلام ورطوبة 75-80% وبعد أسبوع من عملية التلقيح تمت عملية المتابعة اليومية لحين ظهور الاعراض المرضية المميزة للإصابة بفايروس الممسحة القيمي على البطاطا [3].

TAS-ELISA

استخدم اختبار اليزا ثلاثي الطبقات (TAS-ELISA) لغرض تأكيد تشخيص عزلة فايروس الممسحة القيمي للبطاطا في عينات أوراق نباتات التبغ الملقحة وكذلك دراسة العلاقة المناعية بين بروتينات الفايروس والاجسام المضادة القياسية التي تستخدم في الكشف عن الفايروس نفسه. حضر المستخلص النباتي من الأوراق والجذور الطازجة المصابة وذلك باستخدام ماكينة العصر والاستخلاص MEKU ونقل 100 مللي لتر من كل عينة مستخلص الى الحفر الموجودة في طبق Microtiter (96-well,) كطبقة اولى مضادة Nunc-ImmunoTM plates (polyclonal antibody) لفايروس الممسحة القيمي للبطاطا بعدها حضن الطبق تحت درجة حرار 4 مئوي لمدة 12-10 ساعات تقريباً. غسل الطبق عدة مرات باستخدام محلول الغسل الملحي الفوسفاتي-توين (PBS-T) Phosphate-buffered saline-Tween (PBS-T) واضيف الى كل حفرة 100 مللي لتر من الاجسام المضادة أحادية النسل (monoclonal antibody) الخليط الذي تتكون من + SCR68 كطبقة ثانية. حضن الطبق بعدها تحت درجة حرارة 37 مئوي لمدة ساعتين ثم غسل بمحلول الملحي الفوسفاتي-توين (PBS-T) (anti-mouse immunoglobulin G IgG) عدة مرات ثم أضيف 100 مللي لتر من الاجسام المضادة (anti-mouse alkaline phosphatase) بانزيم alkaline phosphatase كطبقة ثالثة ثم حضن الطبق تحت درجة الحرارة 37 مئوي لمدة ساعتين بعدها غسل بنفس محلول الغسل أعلاه. اخيراً اضيف 100 مللي لتر من محلول p-Nitrophenyl phosphate لغرض الكشف عن فعالية انزيم alkaline phosphatase . حضن الطبق بدرجة حرارة الغرفة لمدة ساعة كاملة بعدها استخدم جهاز Multi-skan Ascent الذي يقيس امتصاصية العينات في الحفر على الطول الموجي 405 نانوميتراً. العينات تعتبر موجبة أي مصابة بالفايروس عندما تكون قيمة الامتصاص اعلى بمرتين من عينات المقارنة الخاصة بالنباتات غير المصابة بالفايروس [3; 9].

الاختبارات الجزيئية

جرت عملية استخلاص RNA الكلي من نباتات التبغ المصابة وغير المصابة بحسب طريقة العمل المرفقة مع العدة RNeasy Plant Mini kit حضر الـ RNA المتم (cDNA) (Complementary DNA) وذلك بخلط 5 مللي لتر من الـ RNA تركيز (0.5-1 ملليغرام) مع 8 مللي لتر من الماء المقطر مع إضافة 2 مللي لتر من البادي العكسي تركيز (10 بيكومولاري / مللي لتر). حضن الخليط تحت درجة حرارة 70 مئوي لمدة خمسة دقائق بعدها نقل مباشرة الى وعاء يحتوي على الثلاج وحضن لمدة دقيقة. أضيف الى الخليط بعدها 5 مللي لتر من محلول النسخ العكسي M-MLV ، 1 مللي لتر من انزيم النسخ العكسي M-MLV (تركيز 200 وحدة)، 5 مللي لتر من dNTPs (تركيز 10 ملي مولاري)، 1 مللي لتر من انزيم المانع RNasin (تركيز 30 وحدة) و 3 مللي لتر من الماء المعمق الحالي من RNA. مزج الخليط بهدوء ثم حضن تحت درجة حرارة 42 مئوي لمدة ساعتين. بعد انتهاء التفاعل أخذ 3 مللي لتر من الـ DNA المتم (cDNA) ليستخدم ك قالب في التفاعل البلمرة المتسلسل (PCR) Polymerase chain reaction (PCR) القياسي الخاص بالكشف عن فايروس الممسحة القيمي للبطاطا وحسب الطريقة المتبعة [7] مع بعض التعديلات.

الحجم النهائي للتفاعل كانت 50 مللي لتر ويكون من 10 مللي لتر من محلول GoTaq تركيز X5، 3 مللي لتر من MgCl₂ (تركيز 25 ملي مولاري)، 1 مللي لتر من dNTPs (تركيز 10 ملي مولاري)، 1 مللي لتر من كل من البادئات (Rev. 5' AACAGCCATCTTACCTGC 3') (For. 5' TCGGATCCTCTGGATAC 3') مللي مولاري/مللي لتر)، 1 مللي لتر من الانزيم Taq polymerase (تركيز 5 وحدة) و 3 مللي لتر من ناتج cDNA ويتم الحجم بالماء المقطر.

برنامـج التضاعـف يبدأ بخطوة التـفكـك Denaturation، لـمـدة دقـيقـتين بـدرجـة حرـارـة 95 مـئـوي ثم 40 دـورـة تـتكـون من ثلاثة مـراـحل: تـبـداـ بالـتـفكـك لـمـدة دقـيقـة وـنـصـف بـدرجـة حرـارـة 94 مـئـوي ثـم الـالتـصـاق Annealing لـمـدة دقـيقـة وـنـصـف بـدرجـة حرـارـة 54 مـئـوي بـعـدـها التـمـدد Extension لـمـدة دقـيقـتين وـنـصـف بـدرجـة حرـارـة 72 مـئـوي. بـعـدـها تـبـداـ الخطـوـة الـأخـير التـفـاعـل التـمـدد الـنهـائي Final extension لـمـدة 5 دقـائق بـدرجـة حرـارـة 72 مـئـوي. نـاتـج التـفـاعـل يـفـحـص عـلـى وـسـط Agrose تركيز 1% بعد إضافة صـبـغـة بـرـوـمـيد الـإـثـيـديـوم وبـاستـخدـام الـأشـعـة الـفـوق الـبـنـسـجـيـة. بـعـدـها أـرـسـلـ نـاتـجـ التـفـاعـلـ الفـائـضـ الـى وـحدـةـ التـسـلـسـ الـنوـكـلـيوـتـيـديـ التابـعـةـ لـمـعـهـ جـيـمـسـ هـاـنـنـ الـتـيـ تـسـتـخـدـمـ جـهـازـ BioEditـ DNA Analyserـ 3730ـ لـغـرـضـ تـحـلـيلـ الـبـيـانـاتـ.

ثم استخدم برنامج Blast لمقارنة التسلسل النوكليوتيدي المستحصل عليه مع ما منشور عالميا على موقع المركز الوطني للمعلومات التقنية الجوية (NCBI). (National Center for Biotechnology Information)

تقييم كفاءة طريقة الاسكات الجيني في مقاومة فايروس الممسحة الـقـمـي للبطاطاـ

تَأكِيد نَبَاتات التَّبغ *N.benthamiana* المُعَدَّلَة وَراثيًا بِواسْطَة تَفَاعُل الْبَلْمَرَة المُسْتَسْلِل (PCR)

انتجت نباتات التبغ *N.benthamiana* المعدلة وراثيا في مختبرات معهد جيمس هاتن وذلك بالاستناد الى طريقة اسكات الجين التي تعمل على اسكات او ايقاف ترجمة جين انزيم RNA dependent RNA polymerase (RdRp) الذي يقع في الـ RNA1 من جينوم فايروس الممسحة القمي للبطاطا علما بان هذا الجين مهم لعملية التعبير الحبني والتکاثر للفایروس [20; 19] ولغرض التأكيد من ان نباتات التبغ *N.benthamiana* المستخدمة في هذه الدراسة من انها معدلة وراثيا أجري التفاعل البلمرة المتسلسل (PCR) Polymerase chain reaction للكشف عن جين (RdRp). جرت عملية استخلاص DNA الكلي من عدة اوراق مأخوذة بصورة عشوائية من عدة نباتات تبغ معدلة وراثيا وذلك بحسب طريقة العمل المرفقة مع العدة DNeasy Plant Mini kit المجهزة من نفس الشركة اعلاه. ثم أجريت عملية التفاعل البلمرة المتسلسل باستخدام بادئات خاصة تستهدف الجين

الحادي عشر: مقدمة في علم الوراثة

المحدد وكانت (3) $(R: 5' GTCCACGGATTTGACT 3') + (F: 5' GTTAGCGTAAAGAAATATA 3')$

كان حجم التفاعل الكلي 25 مایکرولیتر يحتوي 2.5 مایکرولیتر من محلول GoTaq (تركيز X5)، 3 مایکرولیتر من $MgCl_2$ (تركيز 25 ملي مولاري)، ونصف مایکرولیتر من كل من dNTPs (تركيز 10 ملي مولاري) والبائثات F+R (تركيز 10 بيكومولاري/ مایکرولیتر) و انزيم التضاعف Taq polymerase (تركيز 5 وحدات) ثم اضيف 2 مایکرولیتر من ال-DNA وأكمل الحجم بالماء المعمق. برنامج التضاعف يبدأ بخطوة التفكك Denaturation، لمدة خمسة دقائق بدرجة حرارة 94 مئوي ثم 35 دورة تتكون من ثلاثة مراحل: الأولى التفكك لمدة دقيقة بدرجة حرارة 94 مئوي ثم المرحلة الثانية الالتصاق Annealing لمدة دقيقة بدرجة حرارة 59 مئوي بعدها المرحلة الثالثة التمدد Extension لمدة دقيقة بدرجة حرارة 72 مئوي. بعدها تبدأ الخطوة الأخيرة Final extension للتفاعل لمدة 10 دقائق بدرجة حرارة 72 مئوي. ناتج التفاعل يكون بحجم 300 نيوكلويوتيدية يفحص على وسط Agrose تركيز 1% بعد إضافة صبغة بروميد الأثيريوم وباستخدام الاشعة فوق البنفسجية.

اختبار كفاءة طريقة الاسكات الجيني في مقاومة فايروس الممسحة القمي للبطاطا في نباتات التبغ *N.benthamiana* المعدلة وراثيا

نفذت الطريقة المائية باستخدام لفاح التربة الملوثة بالعزلة الجديدة لفايروس الممسحة القمي للبطاطا لغرض تقييم كفاءة طريقة الاسكت الجيني ضد الفايروس حيث نقل 20 نبات بعمر 4 أسابيع من نباتات التبغ *N.benthamiana* المعدلة وراثيا بالإضافة الى نفس العدد من النباتات غير المعدلة وراثيا للمقارنة الى حاويات سعة 800 مل تحتوي 36 منها على 300 مل من محلول المغذي (Formulex) + 30 غم من التربة الملوثة اما الأربع حاويات المتبقية فأنها مملوءة فقط بالمحلول المغذي بنفس الكمية لغرض المقارنة وجرى توزيع مجموعتي النباتات بالتساوي بواقع 18 نبات للمعاملة + 2 نباتات للمقارنة علما ان سبب اختيار الطريقة المائية يعود الى نتائج اختبار مصدية التربة والتي سوف نصفها لاحقاً. نقلت بعدها جميع النباتات الى غرف نمو بظروف بيئية مسيطر عليها تشجع على احداث الإصابة بالفايروس وناقلها وتمثل بدرجة الحرارة 18 مئوي لمدة 16 ساعة أضاءه و15 مئوي لمدة 8 ساعات ظلام والرطوبة 70%.

بعد مرور 6 أسابيع من بداية التجربة جمعت عينات من الجذور والأوراق من جميع نباتات *N.benthamiana* المعدلة و غير المعدلة وراثيا حيث تم استخلاص الدNA والـ RNA واجريه تفاعل البلمرة المتسلسل الكمي بالنسخ العكسي ل التشخيص فايروس المسحة القمي للبطاطا في الأوراق والجذور و تفاعل البلمرة المتسلسل الكمي لتشخيص الناقل *S. subterranea* في الجذور فقط بنفس الطريقة المذكورة سابقا.

التحليل الاحصائي

استخدم التصميم تمام العشوائية Completely Randomized Design (CRD) عند اجراء التجارب المختبرية مع استخدام برنامج Genstat package V. 16.1 لغرض تحليل البيانات احصائيا وكانت الفروقات تعتبر معنوية عندما تكون الاحتمالية (P) اقل من 0.05 فقط. بالإضافة الى ذلك استخدم تحليل الارتباط باستخدام نفس البرنامج اعلاه لغرض دراسة العلاقة بين نسبة وكمية الاصابة بالنقل والفايروس في النباتات المعدلة وغير المعدلة وراثيا.

النتائج والمناقشة

عزل وتشخيص فايروس الممسحة القمي للبطاطا PMTV من التربة

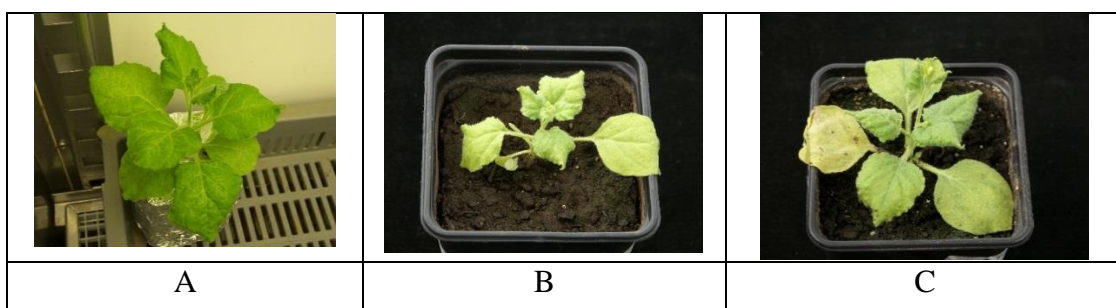
بيانات النتائج الموضحة في جدول رقم (1) ان الطريقة المائية هي الأفضل في تقييم التربة الملوثة إذا أنها الوحيدة التي من خلالها تم تشخيص فايروس الممسحة القمي للبطاطا PMTV ونافقه *S. subterranea*. في عينات جذور النباتات المدرسوة وهذه النتيجة تتوافق مع وجده سابقا [21] من ملائمة الطريقة المائية في تقييم التربة الملوثة بفايروس الممسحة القمي للبطاطا في مناطق مختلفة في اليابان. بينما قد يعود سبب عدم تشخيص الفايروس ونافقه في النباتات المزروعة في الطريقة الأولى (المباشرة) والثانية (خلط) إلى التغير في تركيبة التربة حيث لوحظ أن التربة في الطرفتين أعلى كانت ثقيلة ومضغوطة مما أثر بشكل مباشر على نمو النباتات فيهما بحيث كان النمو بشكل عام ضعيف مقارنتا بالنباتات النامية بالطريقة المائية كما يلاحظ في الصور رقم (1). هذا التفسير يتتوافق مع ما ذكر سابقا [22] من ان تركيبة التربة تؤثر على نمو النباتات بعدة طرق منها ان التربة الثقيلة

والمضغوطه توثر سلبا وبشكل كبير على نمو الجذور الذي يعتبر الجزء النباتي الأكثر أهمية لدوره الامراض التي تبدأ في الجذور مثل الإصابة بالناقل *S. subterranea* و الذي بواسطته تحصل عملية نقل لفايروس الممسحة القمي للبطاطا الى داخل النبات فضلا على انه ضعف نمو الجذور يسبب ضعف امتصاص الماء والعناصر الغذائية وبالتالي ضعف نمو المجموع الخضري. أيضا وجدا انه تركيبة التربة توثر على نشاط وحركة ابواغ الناقل *S. subterranea* حيث ان أفضل الترب هي تلك التي تحتوي مساحات سامة واسعة نسبيا كما في الترب الرملية والمزيجية تحفظ بالماء المهم لحركة ابواغ الناقل *S. subterranea* بينما ينخفض نشاطها وحركتها في الترب الطينية الثقيلة [23;24:25].

جدول رقم (1) تقييم كفاءة طرق الزراعة المستخدمة في اختبار مصيدة التربة في عزل وتشخيص فايروس الممسحة القمي للبطاطا *S. subterranea* ونافقه

النحو	النحو	النحو	النحو
+	-	-	ف فايروس الممسحة القمي للبطاطا
+	-	-	<i>S. subterranea</i> الناقل الناقل

الإشارة الاشاره الموجبة (+) تعني تشخيص الفايروس والناقل في عينات الجذور المدروسة بينما الإشارة تعني عدم تشخيصهما. السالبة (-)



شكل رقم (1) عينة من النباتات النامية بالطرق الثلاث المختلفة المستخدمة في اختبار مصيدة التربة

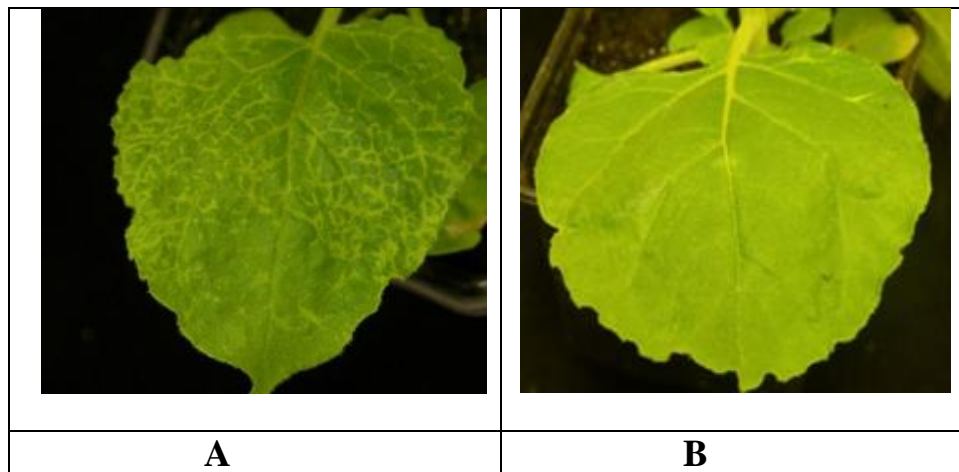
(A) نبات نامي بالطريقه المائيه

(B) نبات نامي بطريقه الخليط

(C) نبات نامي بالطريقه المباشره

دراسات تشخيصية أحيانيا، مناعيا وجزيئيا لعزلة فايروس الممسحة القمي للبطاطا المعزولة من التربة الاختبار الاحياني

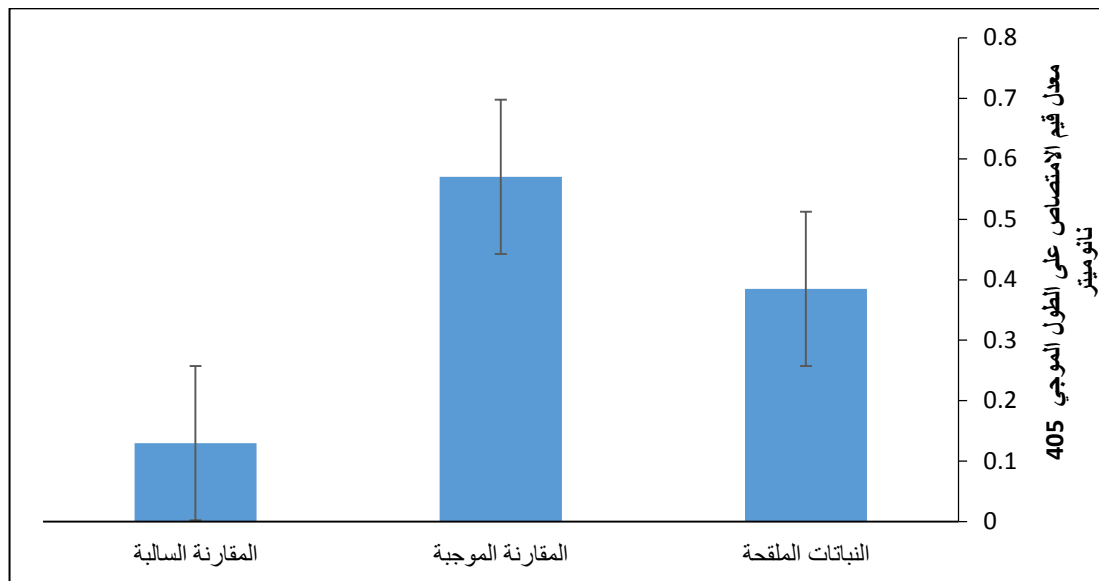
ان الهدف من اجراء هذا الاختبار هو لتحديد مدى شدة امراضيه عزلة فايروس الممسحة القمي للبطاطا المعزولة من التربة بالطريقه المائيه والتي سميت PMTV-Feb₁₂. سجلت سابقا عدة عزلات وسلالات تابعة لفايروس الممسحة القمي للبطاطا مثل PMTV-T و PMTV-S تختلف في تأثيرها على العوائل الحساسة فمنها من شديدة الامراضية تسبب في اظهار اعراض مرضية تدل على شتيها بينما هنالك أخرى ضعيفة لا تسبب في اظهار أي اعراض مرضية [4] وقد أظهرت النتائج الموضحة في صورة رقم (2) ان عزلة الفايروس PMTV-Feb₁₂ هي من نوع شديدة الامراضية وذلك من خلال ظهور اعراض مرضية جهازية في الأوراق التي تقع فوق الأوراق الملقحة بعد 15 يوم من عملية التناقح تتمثل بالخطوط الفاقدة للكلوروفيل وهي الاعراض النموذجية للإصابة بفايروس الممسحة القمي للبطاطا في نباتات *N. benthamiana* الحساسة مقارنتا بالأوراق غير الملقحة التي لم تظهر عليه أي اعراض [26]. جدير بالإشارة هنا الى ان هذه عزلة PMTV-Feb₁₂ يمكن ان تنتقل ميكانيكيما وبواسطه الناقل *S. subterranea* مثلما يحدث مع السلالة PMTV-S وهذا يشير الى عدم وجود طفرة وراثية في جين الغلاف البروتيني لفايروس الممسحة القمي للبطاطا والتي حدوثها يسبب في عدم إمكانية نقل الفايروس بواسطه الناقل *S. subterranea* كما اكتشف في سلالة PMTV-T والتي تنتقل ميكانيكيما فقط [27].



صورة رقم (2) اعراض الإصابة بفايروس الممسحة القمي للبطاطا عزلة PMTV-Feb12 على اوراق نبات *N. benthamiana* بعد اجراء عملية التلقيح اليدوي. ظهور اعراض الإصابة المتمثلة بالخطوط المصفرة الفاقدة للكلورووفيل اوراق النباتات الملقحة (A) بينما اعراض الإصابة لم تظهر على اوراق نباتات المقارنة (B).

الاختبار المناعي TAS-ELISA

اكتشف الفايروس بواسطة طريقة TAS-ELISA في جميع عينات الاوراق المأخوذة من نباتات التبغ الملقحة بالفايروس بعد أسبوعين من اجراء عملية التلقيح حيث كان معدل قيم الامتصاص على الطول الموجي 405 للنباتات الملقحة 0.38 والنباتات المقارنة الموجبة 0.57 وهذه القيمة أعلى بمرتين من القيمة في عينات النباتات المقارنة السالبة 0.13 الخاصة بالنباتات غير الملقحة شكل رقم (1). وتشير هذه النتائج ايضا الى ان بروتينات عزلة فايروس الممسحة القمي للبطاطا المعزولة من التربة والتي سميت PMTV-Feb₁₂ لها خصائص مماثلة لبروتينات سلالات فايروس الممسحة القمي للبطاطا مثل PMTV-S و PMTV-Sw و PMTV-T المكتشفة سابقا [27;28] والتي استخدمت في انتاج الاجسام المضادة القياسية المستخدمة في اجراء اختبار TAS-ELISA [9;8]

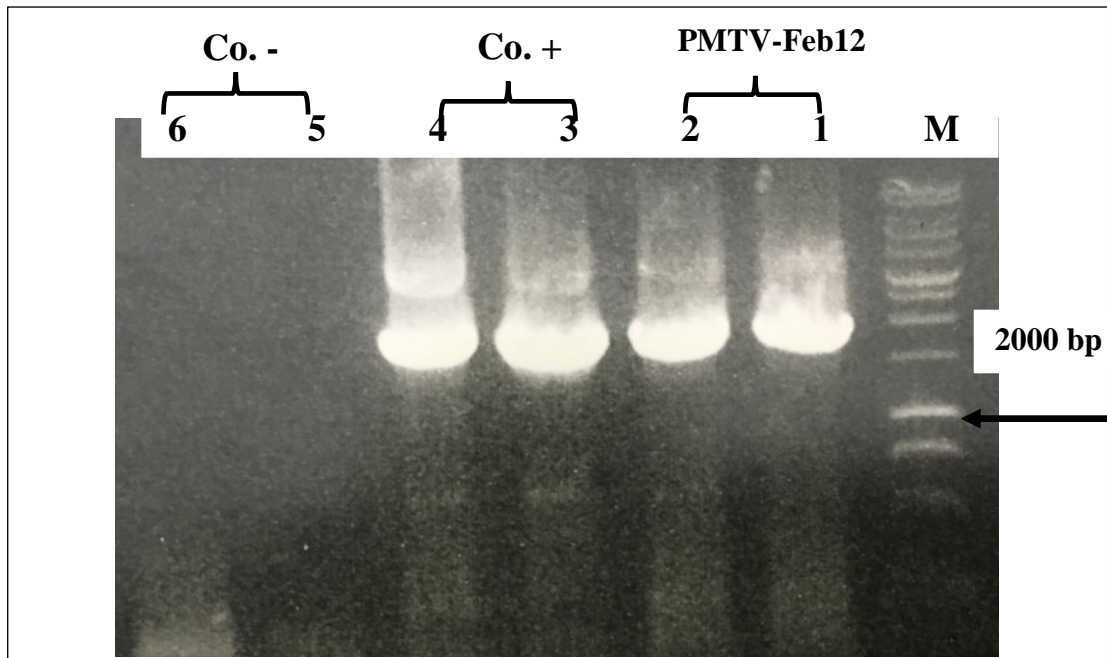


شكل (1): معدلات قيم الامتصاص على الطول الموجي 405 نانوميتر الخاصة في الكشف عن فايروس الممسحة القمي للبطاطا في اوراق نباتات التبغ الملقحة ونباتات المقارنات الموجبة والسلبة.

الاختبارات الجزيئية

اجريت طريقة تفاعل البلمرة المتسلسل بالنسخ العكسي (RT-PCR) لغرض تأكيد تواجد عزلة الفايروس الممسحة القمي للبطاطا PMTV-Feb12 في نباتات التبغ الملقحة. لقد كان حجم ناتج التضاعف للعينات كما موضح بالشكل رقم (2) وتحديدا الخط الأول والثاني هو الحجم المتوقع (تقريبا 2000 زوج قاعدي) والذي كان مماثلا لحجم عينة المقارنة الموجبة الواضحة في الخط الثالث والرابع بينما لم ينتج لعينة المقارنة السالبة المأخوذة من النباتات السليمة الغير ملقحة أي ناتج تضاعف وكما هو واضح في الخط الخامس والسادس. تسلسل النبوكليوتيدات لنتائج عملية التضاعف في العينات أعلاه حدد وتمت مقارنته مع

ما موجود في موقع المركز الوطني للمعلومات التقنية الحيوية (NCBI) حيث أوضحت نتائج التحليل انه على الرغم من ان طول التسلسل النيكلويتيدي المستحصل عليه لعزلة الفايروس PMTV-Feb12 المدروسة قصير نسبيا الا انها أظهرت ان هناك نسبة تشابه كبيرة بينها وبين العزلات العالمية لفايروس الممسحة القمي للبطاطا تصل الى 70% شكل رقم (3).

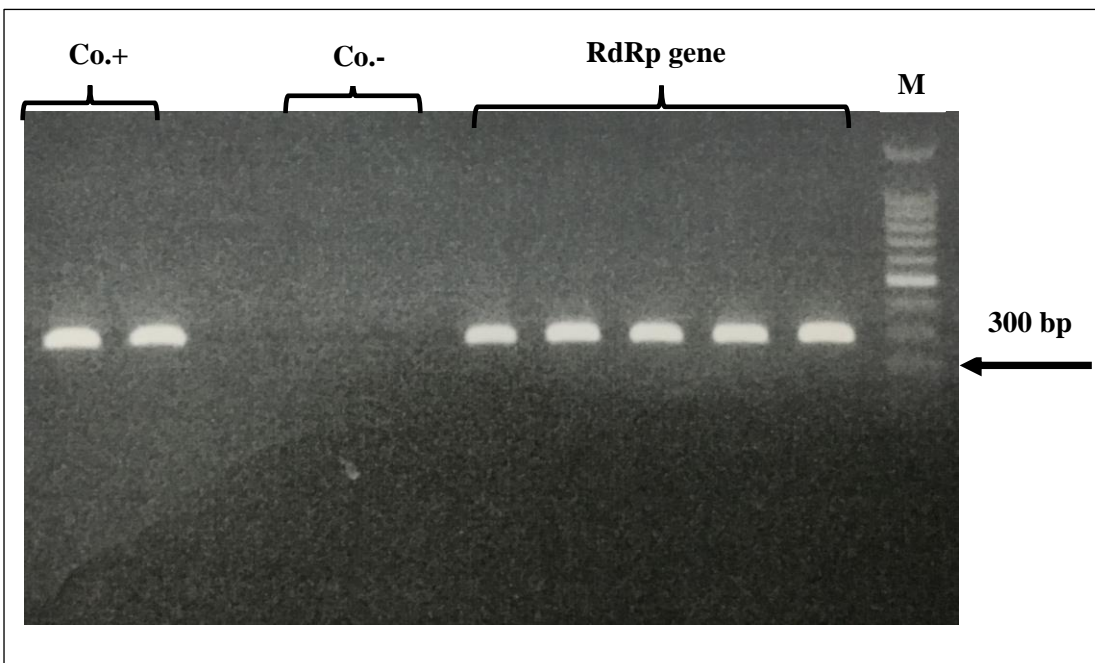


شكل (2): الكشف عن ناتج عملية التضاعف بطريقة تفاعل البوليرaza المتسلسل بالنسخ العكسي لفايروس الممسحة القمي للبطاطا باستخدام الترحيل الكهربائي. (M) مقاييس وراثي (1 kbp) لتحديد حجم DNA العينات، (Co.+.) المقارنة الموجبة، (-) المقارنة السالبة.

شكل (3): المقارنة بين تسلسل النيوكليوتيدي للجين CPRT العائد لعزلة الفايروس PMTV-Feb₁₂ (Query) مع التسلسل النيوكليوتيدي النموذجي (Sbjct) العائد لنفس الجين لعزالت الفايروس المسمحة القمي للبطاطا و الموجود في موقع المركز الوطني للمعلومات التقنية (NCBI)

تقييم كفاءة طريقة الاسكات الجيني ضد فيروس الممسحة القمي للبطاطا في نباتات التبغ *N.benthamiana* المعدلة وراثيا
التأكيد الجيني للتعديل الوراثي لنباتات التبغ *N.benthamiana*

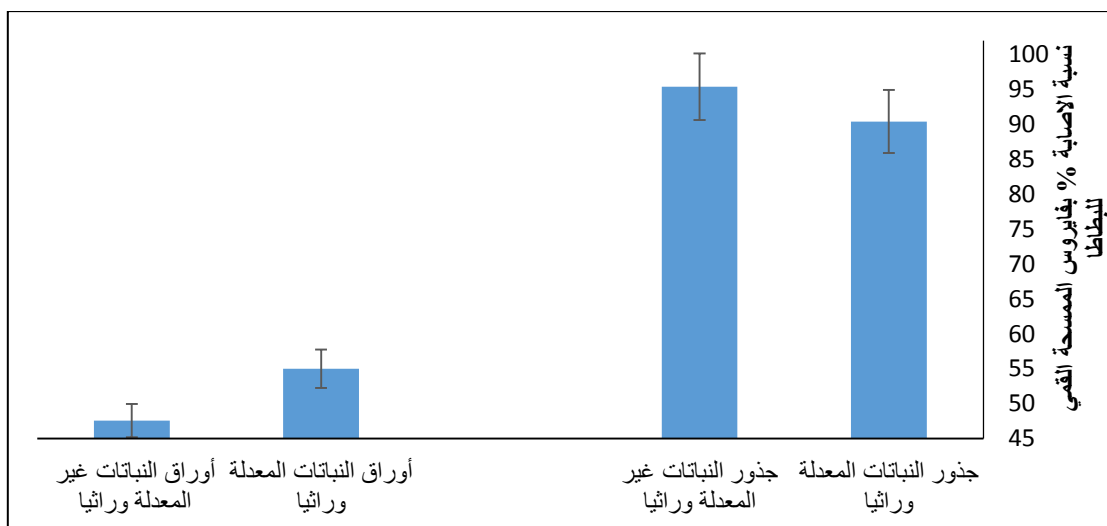
استخدمت طريقة تفاعل البلمرة المتسلسل لغرض تأكيد ان جين RdRp موجود ومتضمن في النباتات المعدلة وراثيا من خلال استخدام بادئات تستهدف تضاعف جزء مميز منه حيث كانت نتيجة عملية التضاعف الجيني شكل رقم (4) الحصول على الحجم المتوقع من الـ DNA ومقدارها 300 زوج قاعدي لجميع العينات المعدلة وراثيا والتي كانت مماثلة لحجم الـ DNA في المقارنة الموجبة بينما لم يتم ملاحظة أي تضاعف للـ DNA في المقارنة السالبة والتي كانت نباتات غير معدلة وراثيا.



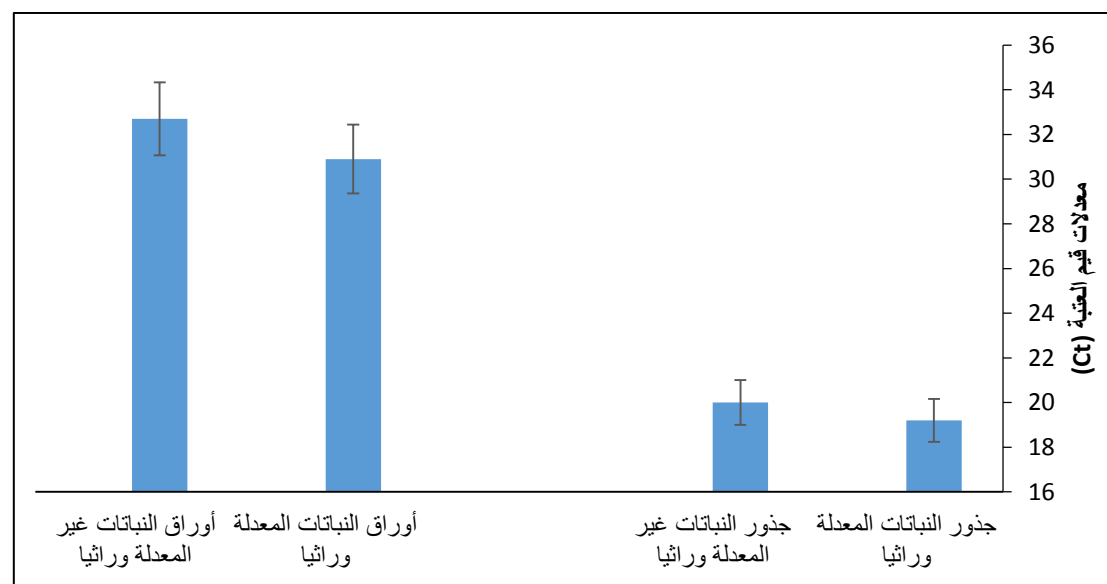
شكل (4): الكشف عن ناتج عملية التضاعف بطريقة تفاعل البلمرة المتسلسل لجزء مميز من الجين RdRp العائد لفايروس الممسحة القمي للبطاطا باستخدام الترحيل الكهربائي. (M) مقياس وراثي (100 bp) لتحديد حجم الـ DNA العينات ، (RdRp gene) تضاعف جزء من جين انزيم التكاير لفايروس الممسحة القمي للبطاطا، (Co.+) المقارنة الموجبة، (Co.-) المقارنة السالبة.

اختبار المقاومة لفايروس الممسحة القمي للبطاطا في جذور واوراق نباتات التبغ *N.benthamiana* المعدلة وراثيا
احرى التقى من خلال تحديد نسبة حدوث الإصابة بفايروس الممسحة القمي للبطاطا في جذور واوراق نباتات التبغ المعدلة وغير المعدلة وراثيا باستخدام طريقة تفاعل البلمرة المتسلسل الكمي بالنسخ العكسي RT-qPCR. حيث لوحظ انه بالرغم من عدم وجود فروق معنوية بين المعاملات الا انه نسبة الإصابة في جذور النباتات المعدلة وراثيا كان الاقل حيث بلغ (90.4 %) في حين بلغ في جذور النباتات غير المعدلة وراثيا (95.4%). ومن ناحية اخرى كان مستوى الإصابة في أوراق النباتات المعدلة وراثيا اكبر (55 %) مما كان في أوراق النباتات غير المعدلة وراثيا (47.6 %) (شكل (2)). وبصورة عامة فانه مستوى الإصابة في الأوراق كان اقل مما في الجذور سواء كانت للنباتات المعدلة او غير المعدلة وراثيا.

من جانب اخر اظهرت النتائج الموضحة في شكل (3) أن مستوى تركيز الـ RNA لفايروس الممسحة القمي للبطاطا المكتشف في جذور واوراق النباتات المعدلة وراثيا كان اعلى (قيم العتبة $C_t = 19.2$ و 30.9 على التوالي) بالمقارنة مع ما موجود في جذور و اوراق النباتات غير المعدلة وراثيا (قيم العتبة $C_t = 20$ و 32.7 على التوالي). وبصورة عامة فانه تركيز الحامض النووي الخاص بالفايروس كان اقل مما في جذور النباتات المعدلة وغير المعدلة وراثيا. علما انه لم توجد فروقات معنوية بين المعاملات.



شكل (5): معدلات نسبة الإصابة بفايروس الممسحة القيمي للبطاطا في جذور وأوراق النباتات المعدلة وغير المعدلة وراثيا. البيانات مع الخطأ القياسي هي عبارة عن معدلات الإصابة بالفايروس المشخص بطريقة RT qPCR في جذور وأوراق النباتات المعدلة وغير معدلة وراثيا.



شكل (6): معدلات قيم العتبة (Ct) لتشخيص فايروس الممسحة القيمي للبطاطا في جذور وأوراق النباتات المعدلة وغير المعدلة وراثيا. البيانات مع الخطأ القياسي هي عبارة عن معدلات الإصابة بالفايروس المشخص بطريقة RT-qPCR في جذور وأوراق النباتات المعدلة وغير معدلة وراثيا.

ان طريقة الاسكات الجيني تنظم العديد من العمليات الحيوية المهمة في الكائنات الحية منها تكوين الدفاعات ضد الإصابات الفايروسية [29;30]. تم الاستدلال على هذه الطريقة من خلال عدة ملاحظات منها الارتفاع العالي في تركيز التراكيب RNA المتداخلة القصيرة التي تستهدف RNA الفايروسات لأجل تحطيمه أثناء عملية الإصابة. بالإضافة إلى ذلك معظم إذا لم تكن كل الفايروسات النباتية قد طورت بروتينات تسمى بالكافح الفايروسي لـ RNA الاسكات (viral suppressor of rna) للتلعب على عملية اسكات الجين المسؤولة عن مقاومة العائل للإصابة الفايروسية وبالتالي استمرار الإصابة بالفايروس. يوجد هناك أكثر من 50 كافح فايروسي تم التعرف عليها تقريباً في كل اجناس الفايروسات النباتية حيث وجداً عملياً ان كل فايروس نباتي يكون على الأقل كافح واحد [31;32]. ومن هذه الفايروسات فايروس الممسحة القيمي للبطاطا حيث حدد أحد جيناته وهو جين البروتين الغني بالسيستين (CRP) (cysteine-rich protein) الذي يقع في RNA الثاني لجينوم الفايروس على انه هو كافح ضعيف لعملية الاسكات الجيني [33]. وقد يكون الكافح (CRP) هو السبب وراء عدم وجود فروق معنوية بين النباتات المعدلة وغير المعدلة وراثياً بنسبة الإصابة وتركيز الحامض النووي لفايروس الممسحة القيمي للبطاطا وهذا لا بد من الإشارة الى ان هذه النتيجة تتعارض مع نتائج الدراسة السابقة [33] التي أوضحت ضعف كافح (CRP) ولكن في هذه الدراسة اظهرت فعالية واضحة كانت كافية في تقليل او تثبيط عملية الاسكات الجيني المستخدمة في انتاج نباتات التبغ المعدلة وراثياً. وبصورة عامة يعتبر تكوين الكافح الفايروسي عملية حديثة التطور في صراع لي الاذرع الدائر بين العائل النباتي والفايروس.

ولقد وجدنا عملياً ان كل خطوات عملية اسكات الجين تستهدف بواسطة الكواكب الفايروسيّة وتكون عملية الاستهداف بطريقتين رئيسيتين:

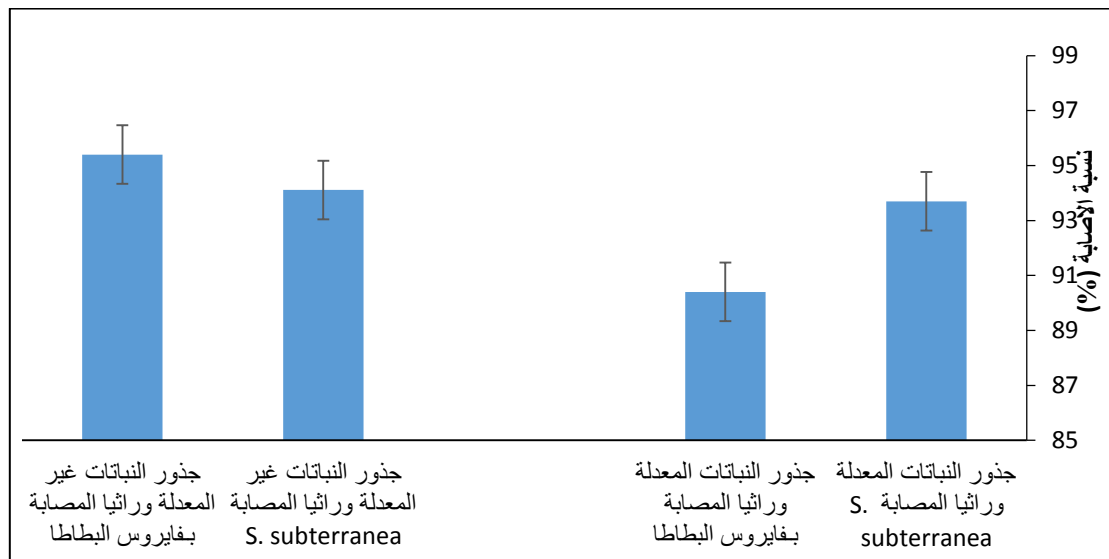
الأولى: بواسطة العمل على تثبيط او تحطيم جزيئات الـ RNA القصيرة المهمة والمرتبطة بعملية الاسكات الجيني حيث تعتبر هذه الاستراتيجية من أكثر الاستراتيجيات استخداماً من خلال اعتمادها من قبل العديد من الاجناس الفايروسيّة مثل اساليب منها حجز قطع الـ RNA القصيرة المزدوجة الشريط والتي تؤدي الى منع تجمع معدن الـ RNA الحاث لعملية الاسكات الجيني ((RISC) RNA-induced silencing complex) المهم لبدأ عملية الاسكات الجيني [34; 35]. مثلاً البروتين الكابح (P19) المستخدم من قبل فايروس تقرن الطماطة الشجري *Tomato stunt bushy virus* الذي يعمل مثل الفرجال او الفرجار (caliper) الذي يقيس طول قطع الـ RNA القصيرة ويرتبط بها بشدة في منطقة طولها 19 زوج قاعدة نايتروجينية وبالتالي تعطيل قطع الـ RNA القصيرة التي تعتبر العنصر الأهم في عملية الاسكات الجيني لبدأ المقاومة للفايروسات [36; 37].

اما الطريقة الثانية فتعمل من خلال اسلوب التداخل بين بروتين الكابح الفايروسي وبروتينات مهمة لعملية الاسكات الجيني مثل بروتين Argonaute الذي يعمل كمكون رئيسي ومهم في معدن الـ RNA الحاث لعملية الاسكات الجيني (RISC) وذلك من خلال العمل على تحطيم الـ RNA الفايروسي. تكون نتيجة التداخل والارتباط بين بروتين الكابح الفايروسي وبروتين Argonaute تثبيط عمل الأخير وبالتالي ايقاف فعالية عملية الاسكات الجيني ضد الفايروس نفسه. مثلاً لهذه الظاهرة هو الكابح P1 الذي يتواجد في فايروس التبرقش الخفيف على البطاطا الحلوة *Sweet potato mild mottle virus* [38] كذلك يعمل الكابح 2b التابع لفايروس موز اثنين الخيار *Cucumber Mosaic Virus* على منع انتشار إشارات الاسكات الجيني بعيدة المدى وبالتالي تسهيل عملية الإصابة الفايروسيّة الجهازية [39]. ان الآلة الأخيرة قد تكون مستخدمة من قبل الكابح (CRP) التابع لفايروس الممسحة القمي للبطاطا وذلك بسبب اكتشاف الفايروس في أوراق النباتات المعدلة وراثياً بنسبة إصابة وتركيز متقاربة مع غير المعدلة وراثياً على الرغم من ان الإصابة بهذا الفايروس تبدأ في منطقة الجذور.

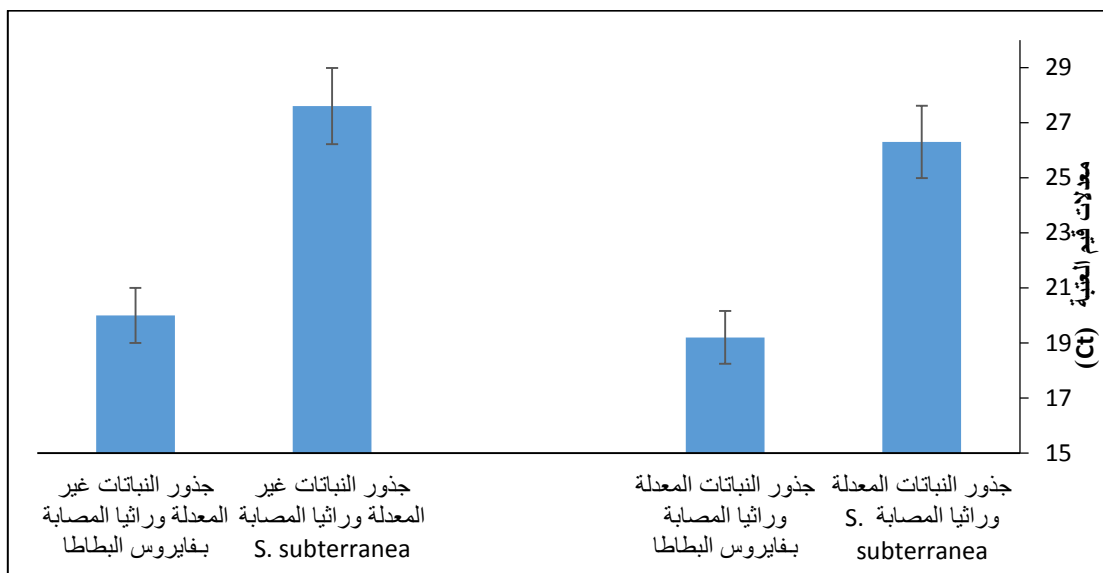
اما تفسير سبب انخفاض نسبة الإصابة وتركيز RNA فايروس الممسحة القمي للبطاطا في الأوراق مقارنتا بالجذور فانه قد يعود الى حقيقة ان حركة الفايروس بصورة عامة بداخل انسجة النبات المصابة معروفة عنها انها بطيئة وغير منتظمة [40; 5].

دراسة العلاقة بين الفايروس ونائله

أوضحت النتائج في شكل (4) ان نسبة الإصابة بالنائل *S. subterranea* كانت اقل (93.7%) في جذور النباتات المعدلة وراثياً مما في جذور النباتات غير المعدلة (94.11%) وهذا انعكس على مستوى الإصابة بفايروس الممسحة القمي للبطاطا حيث كان اقل (90.4%) في جذور النباتات المعدلة وراثياً مقارنتا بغير المعدلة وراثياً (95.4%). من جانب اخر كان مستوى تركيز الـ DNA للنائل والـ RNA للفايروس اعلى (قيم العتبة Ct= 26.3 و 19.2 على التوالي) في جذور النباتات المعدلة وراثياً مقارنتا بتراكيزهما في جذور النباتات غير المعدلة وراثياً قيم العتبة Ct= 27.6 و 20 على التوالي (شكل 5). يتضح انه بالرغم من ان التحليل الاحصائي اظهرها عدم وجود علاقة ايجابية قوية بين الفايروس ونائله الا ان النتائج كانت تشير الى انه عند ارتفاع نسبة الإصابة وتركيز DNA للنائل يرافقها ارتفاع في نسبة الإصابة وتركيز RNA للفايروس بينما عند انخفاضهما للنائل ينخفضا ايضاً للفايروس بغض النظر عن نوع النباتات سواء كانت معدلة او غير معدلة وراثياً وهذه النتيجة تتوافق مع نتائج العديد من الدراسات [41; 42; 43] التي أظهرت وجود علاقة طردية بين مستويات النائل *S. subterranea* والممنقول فايروس الممسحة القمي للبطاطا.



شكل (7): معدلات نسب الإصابة بفايروس الممسحة القمي للبطاطا ونائله *S. subterranea* في جذور النباتات المعدلة وغير المعدلة وراثياً. البيانات مع الخطأ القياسي هي عبارة عن معدلات الإصابة بالفايروس المشخص بطريقة RT-qPCR و PCR q في جذور النباتات المعدلة وغیر معدلة وراثياً.



شكل (8): معدلات قيم العتبة (Ct) لتشخيص فايروس الممسحة القمي للبطاطا وناقله *S. subterranea* في جذور النباتات المعدلة وغير المعدلة وراثيا. البيانات مع الخطأ القياسي هي عبارة عن معدلات الإصابة بالفايروس المشخص بطريقة RT-qPCR و qPCR في جذور النبات المعدلة وغير معدلة وراثيا.

ان هذه الدراسة أوضحت فعالية اختبار الطريقة المائية في تقييم مقاومة النباتات المعدلة وراثيا ضد فايروس الممسحة القمي للبطاطا مع إمكانية تطبيقها في اختبار مقاومة نباتات أخرى معدلة او غير معدلة او راثيا ضد نفس الفايروس أعلاه او ضد فايروسبات أخرى تنقل بواسطة نواقل حية كامنة في التربة مثل أنواع من الجنس *Polymyxa* التي تنقل عدة فايروسبات منها فايروس الموزائيك الأصفر على الشعير *Barley Yellow Dwarf Virus* بالإضافة الى إمكانية استخدامها لدراسة العلاقة بين النباتات وبعض الكائنات الممرضة الكامنة في التربة مثل *Phytophthora spp.* و *Pythium spp.* من جانب اخر أوضحت النتائج أعلاه عدم جدوى استخدام عملية الاسكات الجيني في مقاومة فايروس الممسحة القمي للبطاطا ربما بسبب الفعالية القوية للكابح الجيني (CRP) الخاص بالفايروس اعلاه والذي خضع وبشكل فعال من تأثير عملية الاسكات الجيني مع ايقاف الإشارات بعيدة المدى الخاصة بنفس العملية وهذه الحقائق حسب معلوماتنا قد تعرف لأول مرة. وبصورة عامة ان دراسة طبيعة تأثير الكابح (CRP) بشكل تفصيلي باستخدام النباتات المعدلة وراثيا موضوع مثير للاهتمام مع وجوب التفكير بوسائل دفاعية أخرى تستخدم التكنولوجية الجينية لأجل إيجاد طريقة مقاومة أكثر فعالية ضد فايروس الممسحة القمي للبطاطا.

المصادر

- FAOSTAT,.(2013).** FAOSTAT (Food and Agriculture Organisation of the United Nations statistics). Retrieved September 30, 2015, from <http://faostat.fao.org/> /site/567/ Desktop Default.aspx? PageID=567#ancor..
- Calvert, E. L. and Harrison, B. D. (1966).** Potato mop-top, A soil-borne virus. *Plant Pathology* 15 (3): 134–139.
- Lahuf, A. A. (2014).** Host resistance and molecular interaction studies on *Potato mop-top virus* and its vector *Spongospora subterranea*. Ph.D. thesis. University of Aberdeen, Scotland, UK.
- Harrison, B. D. and Jones, R. A. C. (1970).** Host range and some properties of *Potato mop-top virus*. *Annals of Applied Biology* 65 (3): 393–402.
- Davey, T. (2009).** The importance of *Potato mop-top virus* (PMTV) in Scottish seed potatoes. PhD thesis. Heriot Watt University, Edinburgh, Scotland, UK.
- Arif, M., Ali, M., Rehman, A. and Fahim, M.(2014).** Detection of *Potato mop-top virus* in soils and potato tubers using bait plant bioassay, ELISA and RT-PCR. *Journal of Virological Methods*.195:221-242.
- Arif, M., Torrance, L. and Reavy, B. (1995).** Acquisition and transmission of Potato mop-top furovirus by a culture of *Spongospora subterranea* f.sp. *subterranea* derived from a single cystosorus. *Annals of Applied Biology*. 126 (3): 493–503.
- Santala, J., Samuilova, O., Hannukkala, A., Latvala, S., Kortemaa, H., Beuch, U., Kvarnheden, A., Persson, P., Topp, K., Ørstad, K., Spetz, C., Nielsen, S. L., Kirk, H. G., Budziszewska, M., Wieczorek, P., Obrepalska-Steplowska, A., Pospieszny, H., Kryszczuk,**

- A., Sztangret-Wiśniewska, J., Yin, Z., Chrzanowska, M., Zimnoch-Guzowska, E., Jackeviciene, E., Taluntyte, L., Pupola, N., Mihailova, J., Lielmane, I., Järvekülg, L., Kotkas, K., Rogozina, E., Sozonov, A., Tikhonovich, I., Horn, P., Broer, I., Kuusiene, S., Staniulis, J., Uth, J. G., Adam, G. and Valkonen, J. P. T. (2010). Detection, distribution and control of *Potato mop-top virus*, a soil-borne virus, in northern Europe. *Annals of Applied Biology* 157: 163–178.
- 9- **Torrance, L. , Cowan, G. and Pereira, L. (1993).** Monoclonal antibodies specific for *Potato mop-top virus*, and some properties of the coat protein. *Annals of Applied Biology* 122 (2): 311–322.
- 10- **Germundsson, A., Sandgren, M., Barker, H., Savenkov, E. I. and Valkonen, J. P. T. (2002).** Initial infection of roots and leaves reveals different resistance phenotypes associated with coat protein gene-mediated resistance to *Potato mop-top virus*. *Journal of General Virology* 83 (5): 1201–1209.
- 11- **Latvala-Kilby, S., Aura, J. M., Pupola, N., Hannukkala, A. and Valkonen, J. P. T. (2009).** Detection of Potato mop-top virus in potato tubers and sprouts: combinations of RNA2 and RNA3 variants and incidence of symptomless infections. *Phytopathology* 99 (5): 519–531.
- 12- **International Service for the Acquisition of Agri-biotech Applications (ISAAA). (2014).** Agricultural Biotechnology (A Lot More than Just GM Crops). ISAAA SEAsiaCenter/o IRRI, Los Baños, Laguna 4031, Philippines. Available at: <http://www.isaaa.org>.
- 13- **Eamens, A., Wang, M. B., Smith, N. A. and Waterhouse, P. M. (2008).** RNA Silencing in Plants: Yesterday, Today, and Tomorrow. *Plant Physiology Journal* 147 : 456–468.
- 14- **Duan, C.G., Wang, C. H. and Guo, H. S. (2012).** Application of RNA silencing to plant disease resistance. *Silence A journal of RNA regulation* 3(2):1-8.
- 15- **Foster, G. D. and Taylor, S. C. (1998).** Plant Virology Protocols: From Virus Isolation to Transgenic Resistance. Springer, Dordrecht, The Netherlands.
- 16- **Peña, L. (2010).** Transgenic Plants: Methods and Protocols. Humana Press, New Jersey, USA.
- 17-**van de Graaf, P. , Lees, A. K. , Cullen, D. W. and Duncan, J. M.(2003).** Detection and Quantification of *Spongopora subterranea* in Soil, Water and Plant Tissue Samples Using Real-Time PCR. *European Journal of Plant Pathology* 109 (6): 589–597.
- 18-**Mumford, R. A., Walsh, K., Barker, I. and Boonham, N. (2000).** Detection of *Potato mop-top virus* and *Tobacco rattle virus* using multiplex real-time fluorescent reverse-transcriptase polymerase chain reaction assay. *Phytopathology* 90 (5): 448–453.
- 19-**Torrance, L. (2008).** Pomovirus. pp. 282-287 in MAHY, B. W. J. and VAN REGENMORTEL, M. H. V. (eds). Encyclopedia of virology. Elsevier Press, London, UK.
- 20-**King, A. M., Adams, M. J., Carstens, E. B. and Lefkowitz, E. J. (2012).** Virus Taxonomy: Classification and Nomenclature of Viruses : Ninth Report of the International Committee on Taxonomy of Viruses. Elsevier Press, London, UK.
- 21-**Nakayama, T., Maoka, T., Hataya, T., Shimizu, M., Fuwa, H., Tsuda, S. and Mori, M. (2010).** Diagnosis of *Potato mop-top virus* in soil using bait plant bioassay and RT-PCR-microplate hybridization. *American Journal of Potato Research* 87 (2): 218–225.
- 22-**Passioura, J. B. (1991).** Soil structure and plant growth. *Australian Journal of Soil Research* 29(6): 717 – 728.
- 23-**Bus, C. (2000).** Powdery scab control in the Netherlands. pp. 45–48 in MERZ, U. and LEES, A. (eds). Proceedings of the First European Powdery Scab Workshop, Aberdeen, Scotland, UK, July 20-22 2000.
- 24-**van de Haar, J. (2000).** The powdery scab situation in the Netherlands. pp. 21–22 in MERZ, U. and LEES, A. (eds). Proceedings of the First European Powdery Scab Workshop, Aberdeen, Scotland, UK, July 20-22 2000.
- 25-**Brierley, J., Lees, A. and Wale, S. (2008).** Powdery Scab-Strains and Conducive Conditions. Potato Council Ltd, London, UK.

- 26-Harrison, B. D., Jones, R. A. C. (1971).** Effects of light and temperature on symptom development and virus content of tobacco leaves inoculated with *Potato mop-top virus*. *Annals of Applied Biology* 67: 377–387.
- 27-Reavy, B., Arif, M., Cowan, G. H. and Torrance, L. (1998).** Association of sequences in the coat protein/readthrough domain of *Potato mop-top virus* with transmission by *Spongospora subterranea*. *The Journal of General Virology* 79 (10): 2343–2347.
- 28-Sandgren, M., Savenkov, E. I. and Valkonen, J. P. T. (2001).** The readthrough region of *Potato mop-top virus* (PMTV) coat protein encoding RNA, the second largest RNA of PMTV genome, undergoes structural changes in naturally infected and experimentally inoculated plants. *Archives of Virology* 146 (3): 467–477.
- 29-Dougherty, W. G., Lindbo, J. A., Smith, H. A., Parks, T. D., Swaney, S. and Proebsting, W. M. (1994).** RNA-mediated virus resistance in transgenic plant: exploitation of a cellular pathway possibly involved in RNA degradation. *Molecular Plant-Microbe Interactions Journal* 7:544–552.
- 30-Ratcliff, F., Harrison, B. D. and Baulcombe, D. C. (1997).** A Similarity Between Viral Defence and Gene Silencing in Plants. *Science* 276:1558–1560.
- 31-Diaz-Pendon, J. A., Li, F., Li, W. X. and Ding, S. W. (2007).** Suppression of antiviral silencing by cucumber mosaic virus 2b protein in *Arabidopsis* is associated with drastically reduced accumulation of three classes of viral small interfering RNAs. *Plant Cell Journal* 19:2053–2063.
- 32-Ding, S. W., and Voinnet, O. (2007).** Antiviral Immunity Directed by Small RNAs. *Cell Journal* 130:413–426.
- 33-Lukhovitskaya, N., Thaduri, S., Garushyants, S. K., Torrance, L. and Savenkov, E. I. (2013).** Deciphering the Mechanism of Defective Interfering RNA (DI RNA) Biogenesis Reveals That a Viral Protein and the DI RNA Act Antagonistically in Virus Infection. *Journal of Virology* 87(11): 6091–6103.
- 34-Merai, Z., Kerenyi, Z., Kertesz, S., Magna, M., Lakatos, L. and Silhavy, D. (2006).** Double-stranded RNA binding may be a general plant RNA viral strategy to suppress RNA silencing. *Journal of Virology*. 80:5747–5756.
- 35-Lakatos, L., Csorba, T., Pantaleo, V., Chapman, E. J., Carrington, J. C., Liu, Y. P Dolja, V. V., Calvino, L. F., Lopez-Moya, J. J. and Burgyan, J. (2006).** Small RNA binding is a common strategy to suppress RNA silencing by several viral Suppressors. *EMBO Journal* 25:2768–2780.
- 36-Ye, K., Malinina, L. and Patel, D. J. (2003).** Recognition of small interfering RNA by a viral suppressor of RNA silencing. *Nature* 426:874–878.
- 37-Vargason, J., Szitty, G., Burgyan, J. and Hall, T. M. (2003).** Size selective recognition of siRNA by an RNA silencing suppressor. *Cell Journal* 115:799–811.
- 38-Csorba, T., Pantaleow, V. and Burgyan, J. (2009).** RNA Silencing: An Antiviral Mechanism. pp.36-59 in LOEBENSTEIN, G. and CARR, J. P. (eds.). *Advances in Virus Research (Natural and Engineered Resistance to Plant Viruses, Part I)*. Elsevier Press, London, UK.
- 39-Guo, H. S. and Ding, S.W. (2002).** A viral protein inhibits the long range signaling activity of the gene-silencing signal. *EMBO Journal* 21:398–407.
- 40-Canadian Food Inspection Agency, (2014).** *Potato mop-top virus* (PMTV) Fact sheet. Retrieved August 17, 2016, from <http://www.inspection.gc.ca/plants/plant-pests-invasive-species/diseases/pmtv/factsheet/eng/1327452784025/1327452899956>.
- 41-Cooper, J. I., Jones, R. A. C. and Harrison, B. D. (1976).** Field and glasshouse experiments on the control of *Potato mop-top virus*. *Annals of Applied Biology* 83 (2): 215–230.
- 42-Sokmen, M. A., Barker, H. and Torrance, L. (1998).** Factors affecting the detection of *Potato mop-top virus* in potato tubers and improvement of test procedures for more reliable assays. *Annals of Applied Biology* 133 (1): 55–63.
- 43-Davey, T., Carnegie, S. F., Saddler, G. S. and Mitchell, W. J. (2014).** The importance of the infected seed tuber and soil inoculum in transmitting *Potato mop-top virus* to potato plants. *Plant Pathology* 63 (1): 88–97.